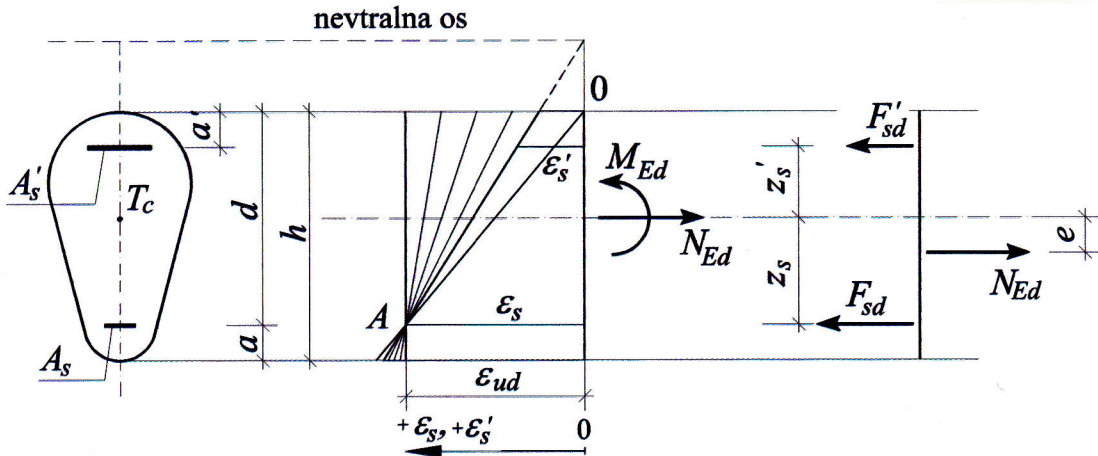


16.) Dimensioniranje prerezor na enojni upogib z natezno osno silo pri mali ekscentričnosti osne sile in centričnem nategu.



Sl. 39: Mala ekscentričnost - natezna osna sila (oznake in obremenitev)

→ Obravnávamo spôsob primer obremenenia preze:

\* Ned>O (natezna osna sla)

$$e^* = \frac{Med}{Ned}$$

$$\Rightarrow | -\varepsilon_s' \leq e \leq \varepsilon_s |$$

prijemališće osne sile je  
med obema armaturama

⇒ PREDPOSTAVKI:

- obe armaturi ( $A_s$  in  $A'_s$ ) sta pre natezni armaturi
  - pripadajoci natezni deformaciji ( $\epsilon_s$  in  $\epsilon'_{s'}$ ) sta pozitirni:

→ Potez deformacij prikazan na sliči: je sicer bolj primeren za pozitivno vrednost upogibnega momenta, točka A je pri tem vrtišče mejnih deformacijskih ravnin.

→ Pri malih ekscentričnostih natezne osne sile, če imamo po cekem prerezu natezne deformacije, zaradi predpostavke, da beton v MSN v nategu ne nosi, odpornost prereza zagotavljamo le s silama v nateznih armaturah  $F_{sd}$  in  $F_{sd}'$ . Dobčimo ju iz ravnotežnih pogojev:

① na podlagi ravnotežja momentov na težišču armature As:

$$F_{sd}^{\prime }(\bar{z}_s+\bar{z}_s')-Ned(\bar{z}_s-e)=0 \Rightarrow F_{sd}^{\prime }=\frac{Ned(\bar{z}_s-e)}{(\bar{z}_s+\bar{z}_s')}$$

② na podlagi ravnotežja momentov na težišču armature As' :

$$F_{sd} (z_s + z_s') - N_{ed} (z_s' + e) = 0 \Rightarrow F_{sd} = \frac{N_{ed} (z_s' + e)}{(z_s + z_s')}$$

$\Rightarrow$  za praktično dimenzioniranje pa je edino smiselna predpostavka, da sta obe natezni armaturi  $A_s$  in  $A_s'$  plastificirani.

V tem primeru pri upoštevanju delomega diagrama brez utrditve relja:

$$\varepsilon_s' \geq \varepsilon_{yd} \longrightarrow \zeta_s' = f_{yd}$$

$$\varepsilon_s \geq \varepsilon_{yd} \stackrel{\text{in}}{\longrightarrow} \zeta_s = f_{yd}$$

in lahko potrebna preza armatur določimo z naslednjima izračoma:

$$A_s' = \frac{F_{sd}'}{\zeta_s'} = \frac{F_{sd}'}{f_{yd}} = \frac{N_{ed} (z_s - e)}{(z_s + z_s') \cdot f_{yd}}$$

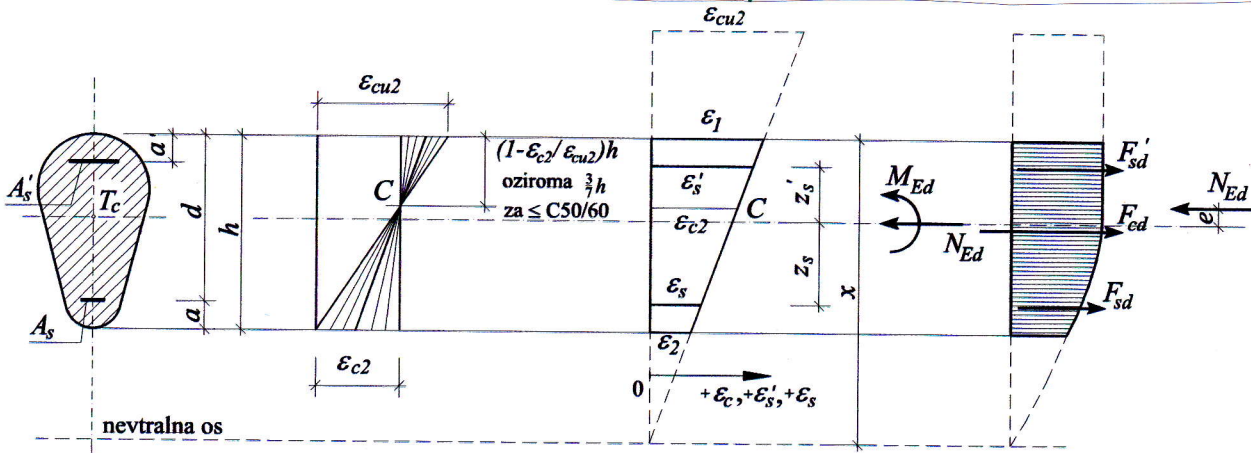
$$A_s = \frac{F_{sd}}{\zeta_s} = \frac{F_{sd}}{f_{yd}} = \frac{N_{ed} (z_s' + e)}{(z_s + z_s') \cdot f_{yd}}$$

$\Rightarrow$  v primeru CENTRIČNEGA NATEGA ( $e=0$ ) in simetrično razporejene armature ( $z_s' = z_s$ ) pa relja:

$$A_s = A_s' = \frac{N_{ed}}{2 \cdot f_{yd}}$$

# 17.) Enojni upogib s tlačno osno silo - mala ekscentričnost

a) izpeljava izrazov za določitev potrebnih armature



Sl. 40: Mala ekscentričnost - tlačna osna sila (oznake in obremenitev)

- \* tlačno osno silo upoštevamo čot pozitivno
- \* točka C predstavlja vrtišče mejnih deformacijskih ravnin

$$N_{Ed} > 0 \quad (\text{tlačna osna sila})$$

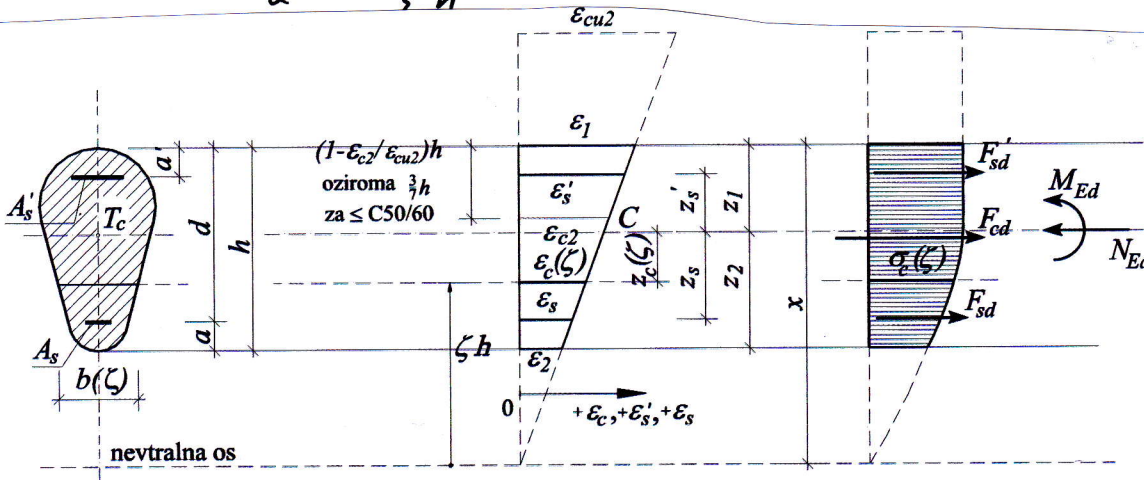
$$e = \frac{M_{Ed}}{N_{Ed}}$$

- \* ker imamo mala ekscentričnost  $\Rightarrow$  osna sila mora lezati med rezultanto sile v betonu  $F_{ed}$  in sile v zgornji armaturi  $F_{sd}$  ter rezultanto sile v betonu  $F_{ed}$  in sile v spodnji armaturi  $F_{sd}$ .
- \* pri poznanih deformacijah betona na zgornjem in spodnjem robu  $\varepsilon_1$  in  $\varepsilon_2$ , ju določa vrtišče deformacijske ravnine C, lahko določimo oddaljenost neutralne osi od zgornjega roba betona x:

$$\frac{\varepsilon_1}{x} = \frac{\varepsilon_1 - \varepsilon_c}{h} \rightarrow x = \frac{\varepsilon_1 - \varepsilon_c}{\varepsilon_1 - \varepsilon_2} h = \xi_x \cdot h \Rightarrow \xi_x = \frac{\varepsilon_1}{\varepsilon_1 - \varepsilon_2}$$

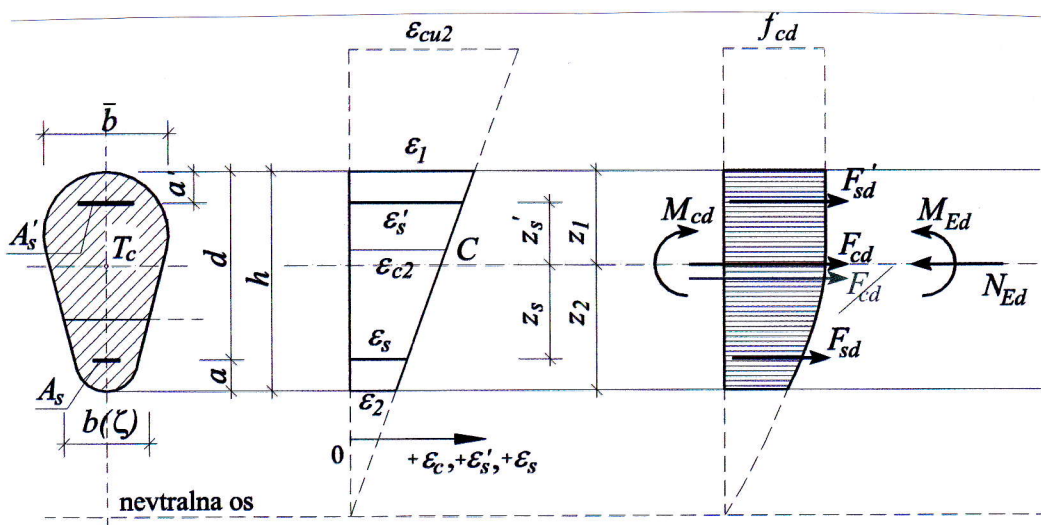
- \* vpeljemo brezdimenzijsko koordinato z izhodiščem v višini neutralne osi s pomočjo katere lahko zapisemo deformacijo betona na poljubnem mestu  $\varepsilon_c(\xi)$

$$\frac{\varepsilon_1}{x} = \frac{\varepsilon_c(\xi)}{\xi \cdot h} \rightarrow \varepsilon_c(\xi) = \frac{\varepsilon_1 \cdot \xi \cdot h}{x} = \frac{\varepsilon_1 \cdot \xi}{\xi_x}$$



Sl. 41: Mala ekscentričnost - tlačna osna sila (oznake za izpeljavo izrazov)

⇒ naprej se izpeljave, a mislim, da pri tem odgovoru niso potrebne (7.del; str. 54-56)



Sl. 43: Mala ekscentričnost - tlačna osna sila (oznake za določitev armature)

→ Prispevek betona je odpornosti preseza upoštevamo v težišču betonskega preseza z rezultanto napetosti  $F_{cd}$  in statičnim momentom  $M_{cd}$  te rezultante glede na težišče betona.

$$F_{cd} = f_{cd} \cdot b \cdot h \cdot n_{c,rd}$$

$$n_{c,Rd} = \int_{\xi=1}^{\infty} \overline{g_c}(\xi) \cdot \beta(\xi) d\xi$$

$$M_{cd} = f_{cd} T \cdot h^2 \cdot M_{c,Rd}$$

$$m_{c,Rd} = \int_{\zeta_x-1}^{\zeta_x+1} \zeta_c(\xi) B(\xi) \left( -\zeta_x + \xi + \frac{z_1}{h} \right) \cdot d\xi$$

→ ravnotečje rseh sil:

$$F_{sd} + F_{sd}' + F_{cd} - N_{ed} = 0$$

ravnotežje momentov glede na težišča betonskega prereza

$$-F_{sd} \cdot z_s + F_{sd}' \cdot z_s' + M_{sd} - M_{sd}' = 0$$

$$\Rightarrow F_{sd}' = \frac{(N_{ed} - F_{cd}) \cdot z_3 + (M_{ed} - M_{cd})}{z_1 + z_2'}$$

$$F_{sd} = \frac{(Med - Fed) \cdot z_s' - (Med - Mod)}{z_s + z_s'}$$

$F_{sd} = \frac{z_s + z_s'}{z_s}$

⇒ z upoštevanjem ustreznih napetosti v armaturah  $g_s$  in  $g_s'$ ,  
 ki jih na podlagi poznanih deformacij  $\epsilon_s$  in  $\epsilon_s'$ ,  
 dolžimo s pomočjo delornega diagrama jekla, pa  
 lahko zapisemo še končna izraza za potrebna  
 preteza armatur:

$$A_s' = \frac{F_{sd}'}{G_s'} = \frac{(H_{ed} - F_{cd}) \cdot z_s + (M_{ed} - M_{cd})}{(z_s + z_s') \cdot G_s'}$$

$$A_s = \frac{F_{sd}}{\zeta_s} = \frac{(N_{ed} - F_{cd}) \cdot z_s' - (M_{ed} - M_{cd})}{(z_s + z_s') \cdot \zeta_s}$$

⇒ Če je temu, da smo predpostavili, da je sistem enačen (ravnotežje) enolično rešljiv, pa se lahko zgoditi, da je sicer matematično korektna rešitev sistema, fizikalno nesprejemljiva ⇒ kadar dobimo vsaj eno silo  $F_{sd}$  ali  $F_{sd}'$  negativno, kar pomeni, da je ne moremo dosegiti s tlačno armaturo.

To je glede na dejstvo, da obravnavamo le mejo deformacijske ravnine (vrtilišče C) in imamo podane poštem splošne vrednosti obremenitev ( $N_{ed}$  in  $M_{ed}$ ) pogosta situacija, tako, da so izpeljani izrazi za praktično dimenzioniranje le drugotnega pomena (pri dimenzioniraju za področje male ekscentričnosti tlačne osne sile so primerni predvsem priporočljivi v obliki interakcijskih diagramov).

### b) praktičen postopek določanja potrebnega prereza armature

⇒ postopek velja za betone običajne trdnosti ( $\leq CS0/60$ ), pri čaterih vrtiliščih deformacijskih ravnin C na  $\frac{3}{7}$  visine prereza in jeklo S 500 brez utrditve

⇒

$$F_{cd} = f_{cd} \cdot b \cdot h \cdot n_{c,rd}$$

$$M_{cd} = f_{cd} \cdot b \cdot h^2 \cdot m_{c,rd}$$

$n_{c,rd}$  in  $m_{c,rd}$  lahko odčitamo iz ustreznih preglednic

⇒ pri izbrani mejni legi deformacijske ravnine, ki poteka skozi vrtilišče C lahko na podlagi podobnih trikotnikov zapisemo naslednje zvezze med deformacijami:

$$\varepsilon_2 = \frac{7 \cdot \varepsilon_{c2} - 4 \cdot \varepsilon_1}{3}$$

$$\varepsilon_s = \varepsilon_1 - \frac{7}{3}(1-\delta)(\varepsilon_1 - \varepsilon_{c2})$$

$$\varepsilon_s' = \varepsilon_1 - \frac{7}{3}\delta'(\varepsilon_1 - \varepsilon_{c2})$$

pri tem velja:

$$\delta = \frac{\alpha}{h} \quad \delta' = \frac{\alpha'}{h}$$

⇒ Ker je pri betonih normalne trdnosti deformacija v rezultatu  $\epsilon_{cr} = 2\%$ , je deformacija ječla  $\epsilon_s$  v vsakem primeru manjša od meje elastičnosti  $\epsilon_yd = 2,17\%$ , lahko pa se zgodi, da tud: armatura  $A_s'$  ni plastificirana  $\epsilon_s' \leq \epsilon_yd$ . Zato je smiselno da v izrazih za dolocitev armature upoštevamo zapisa:

$$\zeta_s' = \left( \frac{\zeta_s}{f_yd} \right) \cdot f_yd \quad \text{in} \quad \zeta_s = \left( \frac{\zeta_s}{f_yd} \right) \cdot f_yd$$

saj lahko vrednosti izkoriscenosti armatur oz. razmerij

$$\frac{\zeta_s'}{f_yd} \quad \text{in} \quad \frac{\zeta_s}{f_yd} \quad \text{za izbrane lege deformacijskih ravnin}$$

( $\epsilon_1$  in  $\epsilon_{cr}$ ) ter parametra  $\delta = \frac{a}{h}$  in  $\delta' = \frac{a'}{h}$  vnaprej

tabeliramo ⇒ glej preglednici:

$$\zeta_s' = \min \left[ \epsilon_s' \cdot \epsilon_s; f_yd \right] \rightarrow \frac{\zeta_s'}{f_yd} = \min \left[ (\epsilon_1 - \frac{2}{3}\delta'(\epsilon_1 - \epsilon_{cr})) \frac{1}{\epsilon_yd}; 1 \right]$$

$$\zeta_s = \min \left[ \epsilon_s \cdot \epsilon_s; f_yd \right] \rightarrow \frac{\zeta_s}{f_yd} = \min \left[ (\epsilon_1 - \frac{2}{3}(1-\delta)(\epsilon_1 - \epsilon_{cr})) \frac{1}{\epsilon_yd}; 1 \right]$$

⇒ končna izraza za račun potrebnih presezor armatur:

$$A_s' = \frac{F_{sd}'}{\zeta_s'} = \frac{(N_{ed} - F_{cd}) \cdot z_s + (M_{ed} - M_{cd})}{(z_s + z_s') \cdot \left( \frac{\zeta_s'}{f_yd} \right) \cdot f_yd}$$

$$A_s = \frac{F_{sd}}{\zeta_s} = \frac{(N_{ed} - F_{cd}) \cdot z_s' - (M_{ed} - M_{cd})}{(z_s + z_s') \cdot \left( \frac{\zeta_s}{f_yd} \right) f_yd}$$

c) dimenzioniranje pri centričnem tlaku

⇒  $e = 0$

⇒ simetrično razpostorejena armatura ( $z_s' = z_s$  in  $A_s' = A_s$ )

⇒ odpornost preseza pri mejinih deformacijah ( $\epsilon_1 = \epsilon_L = \epsilon_s = \epsilon_s' = \epsilon_{cr}$ )

$$N_{rd} = A_c \cdot f_{cd} + (A_s + A_s') \cdot f_{yd} \cdot \min \left( \frac{\epsilon_{cr}}{\epsilon_yd}; 1 \right)$$

⇒ iz pogoja ravnotežja preseza  $N_{ed} = N_{rd}$  pa dolocimo potrebna preseza armature pri znani obremenitvi

$$A_s = A_s' = \frac{N_{ed} - A_c \cdot f_{cd}}{2 \cdot f_{yd} \cdot \min \left( \frac{\epsilon_{cr}}{\epsilon_yd}; 1 \right)}$$

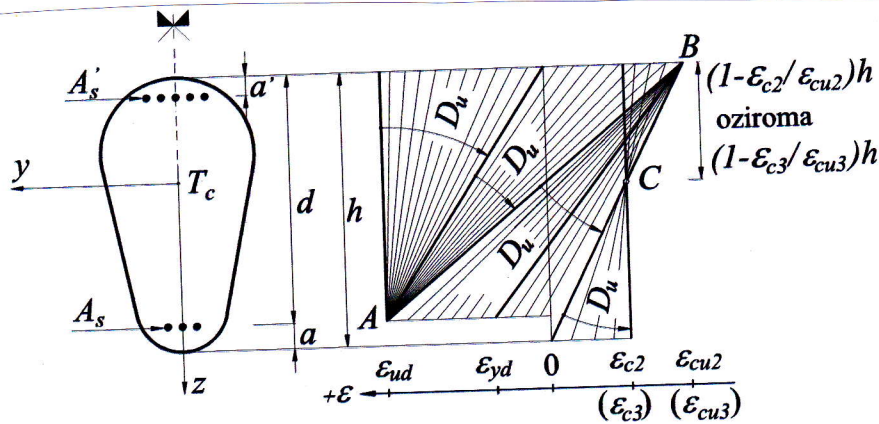
⇒ pri centričnem tlaku mora biti težišču armature  $A_s$  (rsa arm. v presezu) v težišču betonskega preseza:

$$A_s = \frac{N_{ed} - A_c \cdot f_{cd}}{f_{yd} \cdot \min \left( \frac{\epsilon_{cr}}{\epsilon_yd}; 1 \right)}$$

18.) Opisite izdelavo in uporabo interakcijskih diagramov pri enojnem upogibu z osno silo

⇒ Mejna osno-upogibna odpornost armiranega betonskega prereza je določena z mejnimi deformacijskimi ravninami ( $D_u$ ). Te ravnine, ki jih je neskončno mnogo, smo opisali z dvojico ravnin pri katerih je vsaj v eni ali več točkah betona oz. armature dosežena konvencionalna mejna deformacija  $\varepsilon_{cu2}$  (ali  $\varepsilon_{cu3}$ ) oz.  $\varepsilon_{ud}$

$$\varepsilon_{cu2} \text{ (ali } \varepsilon_{cu3}) \text{ oz. } \varepsilon_{ud}$$



⇒ Točke A, B in C so VRTIŠČA DEFORMACIJSKIH RAVNIN. Določene so z:

A - mejna deformacijo natezne armature  $\varepsilon_{ud}$

B - mejno tlachno deformacijo betona pri upogiba  $\varepsilon_{cu2}$   
pri čistem tlaku  $\varepsilon_{c3}$

C - -||-

⇒ Vektor osno-upogibne mejne odpornosti počnega prereza  $\{R_d\}$  dobimo z ustrežno izračajo napetosti betona in armature po prečnem prerezu

$$\{R_d\} = \begin{Bmatrix} N_{d,x} \\ M_{d,y} \end{Bmatrix} = \begin{Bmatrix} N_d \\ M_d \end{Bmatrix} = \left\{ \begin{array}{l} \iint_A G_{xx} dA = \iint_{Ac} G_{cd} dA + \sum_{i=1}^n A_i G_{si} \\ \iint_A z_i G_{xx} dA = \iint_{Ac} z_i G_{cd} dA + \sum_{i=1}^n z_i A_i G_{si} \end{array} \right\}$$

⇒ ~~Vektor~~ Napetosti betona in armature s pomočjo delornih diagramov obh materialov izrazimo z deformacijami ⇒ vektor osno-upogibne odpornosti prereza zapišemo z deformacijami in projektima trdnosti obh materialov pod inf.

$$\{R_d\} = \begin{Bmatrix} N_d (D_u, f_{ed}, f_{yd}, \text{geometrija}) \\ M_d (-||-) \end{Bmatrix}$$

⇒ Vsaki mejni deformacijski ravnini Du, enolično pripada en sam vektor mejne nosilnosti  $\{R_d\}$  prereza definiran geometrije. Pri tem pod geometrijo razumemo končno obliko betonskega prereza s poštanimi dimenzijami ter razporediter in dolžino armature v posameznih točkah. Če pri tem s spremajanjem mejnih deformacijskih ravnin po korakih potrijemo celotno deformacijsko območje deformacijskih ravnin in za vsako izbrano lego mejne deformacijske ravnine določimo pripadajoči vektor osno-upogibne mejne odpornosti prereza, dobimo vse možne vektorje mejne odpornosti znanega AB prereza.

\* glej primer interakcijskega diagrama  
(sl. 45, str. 62 (8. del))

- ⇒ INTERAKCIJSKI DIAGRAMI V NORMIRANI OBLIKI so zelo praktični primerni za praktično dimenzioniranje AB prerezov na osno-upogibno obremenitev
- ⇒ projectno osno silo in projectni upogibni moment običajno normiramo na sledeč način:

$$N_{Ed} = \frac{N_{Ed}}{A_c \cdot f_{cd}} \quad M_{Ed} = \frac{M_{Ed}}{A_c \cdot h \cdot f_{cd}}$$

⇒ velja tudi:

$$N_{Ed} = \frac{N_{Ed}}{A_c \cdot f_{cd}} = \frac{N_{Ed}}{A_c \cdot f_{cd}} = N_{Rd}$$

$$M_{Ed} = \frac{M_{Ed}}{A_c \cdot h \cdot f_{cd}} = \frac{M_{Ed}}{A_c \cdot h \cdot f_{cd}} = M_{Rd}$$

⇒ razporediter armature (razmerja prerezov posameznih armatur in parametri položaja):

$$k = \frac{A_s'}{A_s} \quad \xi = \frac{a}{h}$$

⇒ Dolžina armature (mehanična stopnja armiranja  $\mu_0$ )

$$\mu_0 = (1 + \xi) \cdot \mu \frac{f_y}{f_{cd}} = \frac{(A_s + A_s') f_y}{A_c \cdot f_{cd}}$$

⇒ preverite

⇒ praviloma so v literaturi skupaj zbrane krivulje, ki pripadajo rnaprej izbranim vrednostim mehanske stopnje armiranja  $\mu_0$ .

Najpogosteje glede na kombinacije obremenitev  $\frac{\text{ned}}{\text{med}}$  določimo potrebno največjo vrednost mehanske stopnje armiranja  $\mu_0$ , nato pa še potrebna prerezna po izrazih:

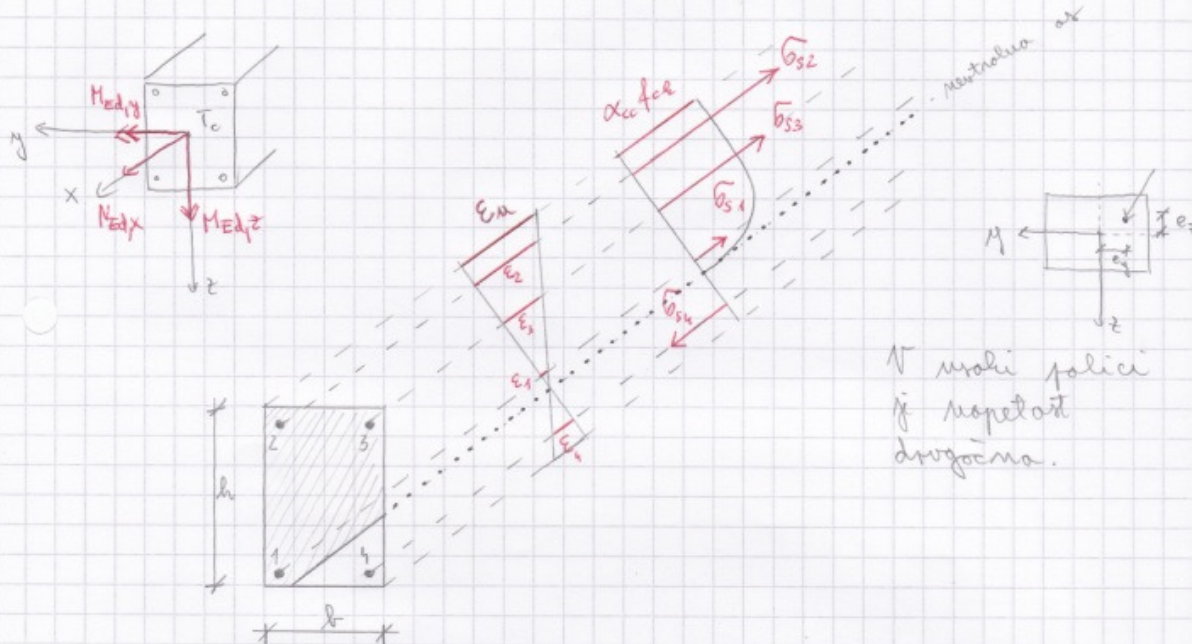
$$\left[ \mu = \frac{\mu_0}{1+\zeta} \cdot \frac{f_{cd}}{f_{yd}} \right] \rightarrow \begin{cases} A_s = \mu \cdot A_c \\ A_s' = \zeta \cdot A_s \end{cases}$$

⇒ s pomočjo interaktivnih diagramov v normirani obliki pa lahko rešujemo tudi druge probleme:

- \* Pri poznani razporeditvi in dolžini armature na podlagi ustrezeno izbrane krivulje določimo ekstremne obremenitve:
  - max Med pri predpisani (poznam) vrednosti Ned
  - max Ned in min Ned pri predpisani (poznam) vrednosti Med
- \* s podatki na diagramih lahko običajno tudi: ocenimo vrednosti deformacij znacilnih točk prerez.

19. Dimensioniranje pravokotnih presavo na dvojno ekscentrični tlak

- a) splošni opis problema
- b) mernosti za pravčno dimensionirane
- c) posnostovljeni postopek dokaza presavo



a) N primeru dvosmoga upogiba v kombinaciji z eno silo dolinsko vektar eno - upogibne mernosti odgovorni poznamenega presa z integracijo nepotest betana in omotave po prečnem presu

$$\{R_d\} = \begin{Bmatrix} N_{dz,x} \\ M_{dz,y} \\ M_{rz,z} \end{Bmatrix} = \begin{Bmatrix} \iint G_{xx} dA \\ \iint z G_{xx} dA \\ \iint y G_{xx} dA \end{Bmatrix}$$

če nepotest betana ni osnutve s formojo obeli delomnih diagamov materialov izrazimo z def. ( $\bar{G}_c = \bar{G}_c(E_c)$ ,  $\bar{G}_s = \bar{G}_s(E_s)$ ;  $y_c, z_c$ ,  $y_{si}, z_{si}$  so koordinate tač betana oz. osnutve), taki vektar eno - upogibne odgovorni presa zapisemo z def. in projektivno

trudnostima obeli materijalov fcd in fyd.

Nekolik međui def. normi Du pripoda su same  
velicor međue koristnosti  $\{R_d\}$ . Če piši tem  
s spremnjevanjem međui def. normi po korakih  
pokrećenju celotno def. obnoviće, za neko  
nekrivo lego međue def. normine dolociju pripadajuć  
velicor osno - proj. odgovornosti preseka doljno  
ne možne velicorje međue odgovornosti  $\rightarrow$  opisuje  
ploskev u prostoru.

b) Za praktičnu dimenzioniranju korobljamo  
nemalniške programe ali pomoćke u  
obliki normih interakcijskih diagrama, kucu se  
oblicajno podani u obliku interakcije  $M_{Rdy}/M_{Edz}$   
pri predpisanim osim vrednostima  $M_{Ed} = M_{Ed}$

$$c) \left(\frac{M_{Edz}}{M_{Rdy}}\right)^a + \left(\frac{M_{Edy}}{M_{Rdy}}\right)^a \leq 1,0$$

\*  $M_{Edy}, M_{Edz} \dots$  projektne proj. momenta obog osi  
 $M_f$  oz. z.

\*  $M_{Rdy}, M_{Edz} \dots$  mogilni odgovornosti preseka +1 -  
dolociju pri proj. osi sili  $N_{Ed}$

\* a ... eksponent

$$N_{Rd} = A_c \cdot f_{cd} + A_s \cdot f_{yd}$$

$N_{Ed}/N_{Ed}$	0,1	0,7	1,0
a	1,0	1,5	2,0

Anotovo izberemo  
mato postopek  
iteracijosko  
porobljamo dolje  
ne dočekenu  
intezivne motornost

20. Žečna meje odpornosti AB elementov glede na precne nile

a) zagotavlja odpornosti pri vročilnu nezapolnih elementih brez stržne omot.

b) stržna močnost mehanizma nov. poličjo - nezapoljiva nosilca

c) Pri veliki nosilnosti in plastični se pred vročilnim posnemljivo pojavijo vročilne nosilce, pri vecini pa se nosiljejo tudi stržne nosilce. V področju tega ni možnosti nosilok omotno odpornost glede precne nile zagotavlja napetosti v betonu. Nosilce se pojavijo ko glavne nosilne nap.  $f_{ck}$  v betonu dosegajo mejo not. trdnosti.

$$T_d(z) = \frac{V_d S_y(z)}{I_y b(z)}, \quad \tilde{\sigma}_d = \frac{N_{Ed}}{A} + \frac{M_{Ed} \cdot z}{F_y}$$

$$\tilde{\sigma}_{Ed} = \frac{\tilde{\sigma}_d(z)}{2} + \sqrt{\frac{\tilde{\sigma}_d^2(z)}{4} + T_d(z)} = f_{otd} \dots \text{pojav nosilok}$$

Mejo stržno odpornost glede precne nile zagotavlja \* nezapoljeni deli bet. preseka s stajimi napetostmi

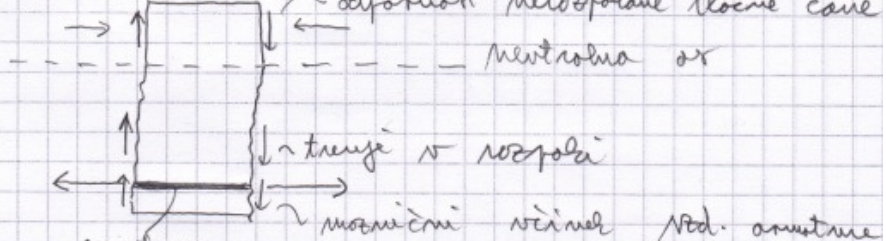
$$f_{ex} < f_{otd}$$

\* trenje med zrni opegrato in nosilom

\* možnični veinek ne dolžne omotati

\* ločni mehanizem elementa (tega trenutno zasidrana ne dolžna omotata ni klama cene leta)

odporost nezapoljane ločne cene  
metrostna sr



trduostima obeli materialov fcd in fyd.

Nekaj mejnih def. normiv Dv pripoda en sam  
velikor mejne nosilnosti  $\{R_d\}$ . Če pri tem  
S sprememboj mejnih def. normiv po končnih  
polnjenih celotnih def. območje, za vsoko  
težkocelego mejne def. normive dolčino pripadajo  
vertor vno - proj. odpornosti presa dolčimo  
ne moreme reševati mejne odpornosti  $\rightarrow$  opisjo  
plastev v prostoru.

b) Za praktično dimesioniranje uporabljamo  
nachalniške programe ali pomočke in  
obliki raznih interakcijskih diagramov, ki so  
običajno podani v obliki interakcije  $M_{Rdy}/M_{Edz}$   
pri predpisanih omilih silah  $M_{Rd} = M_{Ed}$

$$\text{c)} \left( \frac{M_{Edz}}{M_{Rdy}} \right)^a + \left( \frac{M_{Rdy}}{M_{Edz}} \right)^a \leq 1,0$$

\*  $M_{Rdy}, M_{Edz}$  ... projektne proj. momenta obog ali  
 $M_f$  oz. z.

\*  $M_{Rdy}, M_{Edz}$  ... projektni odpornosti presa +1 -  
dolčenje pri proj. omi sili  $N_{Ed}$

\* a ... eksponent

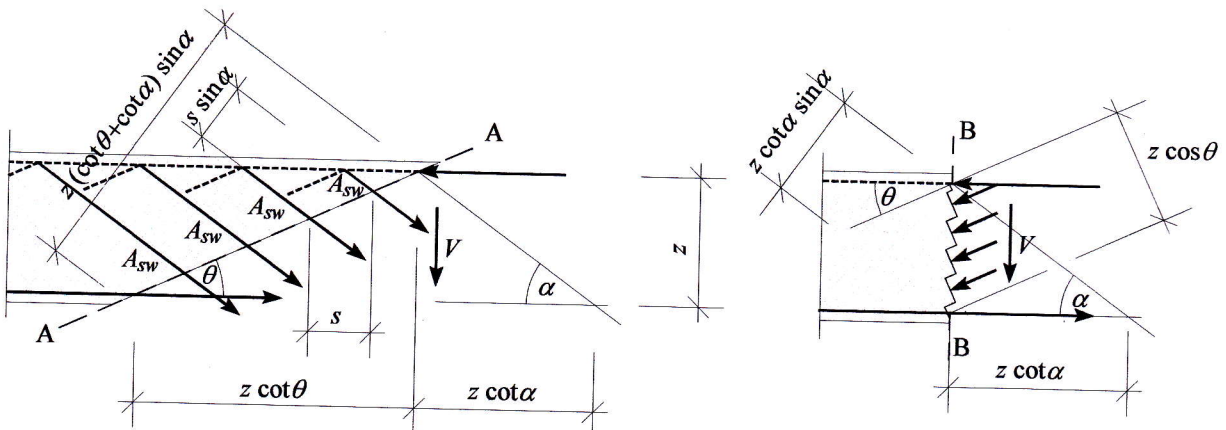
$$N_{Rd} = A_c \cdot f_{cd} + A_s f_{yd}$$

$N_{Ed}/N_{Ed}$	0,1	0,7	1,0
a	1,0	1,5	2,0

Anotirno vzbocemo  
moto partapele  
iteracijo  
poročljivo doler  
ne dočerno  
vložene motorenost

## Strižna nosilnost mehanizma ravninskega paličja

Obravnavamo element s slike Sl. 55. Pri tem so palice strižne armature na medsebojni horizontalni razdalji  $s$ . Prerez vseh palic v eni krivitvi znaša  $A_{sw}$ . Z je označena ročica notranjih sil.  $\sigma_{sw}$  je napetost v strižni armaturi,  $\sigma_{cw}$  pa napetost v poševnih tlačnih razporah.



Sl. 55: Pogoji zavnotežja v prerezih paličnega modela pri poševni strižni armaturi

Za prerez A-A vzporeden s smerjo tlačnih razpor lahko napišemo naslednji ravnotežni pogoj:

$$V = \frac{A_{sw} \cdot \sigma_{sw} \cdot (z \cdot \cot \theta + z \cdot \cot \alpha) \cdot \sin \alpha}{s \cdot \sin \alpha} \cdot \sin \alpha \quad (168)$$

$$\rightarrow V = \frac{A_{sw} \cdot \sigma_{sw} \cdot z \cdot (\cot \theta + \cot \alpha)}{s} \cdot \sin \alpha \quad (169)$$

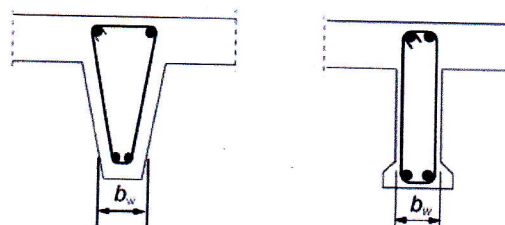
V izrazu (169) je torej  $V$  prečna sila, ki jo uravnotežijo sile v strižni armaturi vzdolž poševnega prereza A-A.

Če napišemo še ravnotežni pogoj za vertikalni prerez B-B, ki ga hkrati »sekajo« tlačne razpore in strižna armatura dobimo:

$$V = \frac{A_{sw} \cdot \sigma_{sw} \cdot z \cdot \cot \alpha \cdot \sin \alpha}{s \cdot \sin \alpha} \cdot \sin \alpha + \sigma_{cw} \cdot b_w \cdot z \cdot \cos \theta \cdot \sin \theta \quad (170)$$

$$\rightarrow V = \frac{A_{sw} \cdot \sigma_{sw} \cdot z \cdot \cot \alpha}{s} \cdot \sin \alpha + \sigma_{cw} \cdot b_w \cdot z \cdot \cos \theta \cdot \sin \theta \quad (171)$$

Pri tem je  $b_w$  najmanjša širina prereza med natezno armaturo in nevtralno osjo.



Sl. 56: Merodajna širina  $b_w$

Z upoštevanjem izraza (169)  $\frac{A_{sw} \cdot \sigma_{sw} \cdot z \cdot \sin \alpha}{s} = \frac{V}{(\cot \theta + \cot \alpha)}$  v izrazu (171) izločimo

neposreden vpliv strižne armature in dobimo:  $\rightarrow V = \frac{V \cdot \cot \alpha}{(\cot \theta + \cot \alpha)} + \sigma_{cw} \cdot b_w \cdot z \cdot \cos \theta \cdot \sin \theta$

in še:  $V(\cot \theta + \cot \alpha) = V \cdot \cot \alpha + \sigma_{cw} \cdot b_w \cdot z \cdot \cos \theta \cdot \sin \theta \cdot (\cot \theta + \cot \alpha)$  ter končno obliko

$$V = \sigma_{cw} \cdot b_w \cdot z \cdot \sin^2 \theta \cdot (\cot \theta + \cot \alpha) \quad \text{oz.} \quad V = \sigma_{cw} \cdot b_w \cdot z \cdot \frac{(\cot \theta + \cot \alpha)}{1 + \cot^2 \theta}. \quad (172)$$

Pri tem je v izrazu (172)  $V$  prečna sila, ki jo lahko uravnotežimo z napetostmi betona v tlačni diagonali.

V vertikalnem prerezu B-B dobimo zaradi delovanja tlačne razpore in natezne strižne armature rezultirajočo horizontalno silo  $H$ :

$$H = \sigma_{cw} \cdot b_w \cdot z \cdot \cos \theta \cdot \cos \theta - \frac{A_{sw} \cdot \sigma_{sw} \cdot z \cdot \cot \alpha}{s} \cdot \cos \alpha \quad (173)$$

Če upoštevamo izraza (169) in (172):

$$\sigma_{cw} \cdot b_w \cdot z = \frac{V}{\sin^2 \theta \cdot (\cot \theta + \cot \alpha)} \quad \text{in} \quad \frac{A_{sw} \cdot \sigma_{sw} \cdot z}{s} = \frac{V}{(\cot \theta + \cot \alpha) \cdot \sin \alpha}$$

v izrazu (173) dobimo:

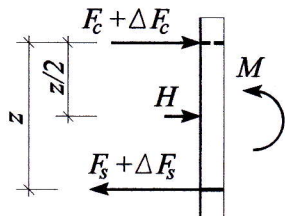
$$H = \frac{V \cos^2 \theta}{\sin^2 \theta \cdot (\cot \theta + \cot \alpha)} - \frac{V \cdot \cot \alpha \cdot \cos \alpha}{(\cot \theta + \cot \alpha) \cdot \sin \alpha} = \frac{V(\cot^2 \theta - \cot^2 \alpha)}{(\cot \theta + \cot \alpha)}$$

$$\rightarrow H = V(\cot \theta - \cot \alpha) \quad (174)$$

Za silo  $H$  predpostavimo, da deluje na polovici razdalje med pasovi torej na oddaljenosti  $z/2$  od tlačenega pasu. Ta sila povzroča v glavni natezni armaturi dodatno natezno silo  $\Delta F_s$ , ki jo določimo

na podlagi momentnega ravnotežnega pogoja glede na prijemališče rezultante tlačnih napetost zgornjega pasu (glej Sl. 57):

$$(F_s + \Delta F_s) \cdot z - H \cdot z/2 - M = 0 \rightarrow F_s + \Delta F_s = \frac{M}{z} + \frac{H}{2} \quad (175)$$



Sl. 57: Ravnotežje v prerezu z dodatno horizontalno silo iz mehanizma paličja

Upoštevamo standardno oznako iz upogibnega dimenzioniranja  $F_s = \frac{M}{z}$ , to je oznako za silo v vzdolžni armaturi, ki smo jo določili na podlagi upogibnega mehanizma, in dobimo prirastek sile v natezni armaturi  $\Delta F_s$  zaradi prevzema prečne sile z mehanizmom paličja:

$$\Delta F_s = \frac{H}{2} = \frac{V}{2}(\cot \theta - \cot \alpha) \quad (176)$$

Sila  $\Delta F_s$  se pojavi, ker da imamo v nadomestnem paličju po celotni dolžini posameznega paličnega nateznega elementa konstantno silo, za razliko od upogibnega dimenzioniranja, kjer se dobljena sila v natezni armaturi prilagaja poteku upogibnih momentov.

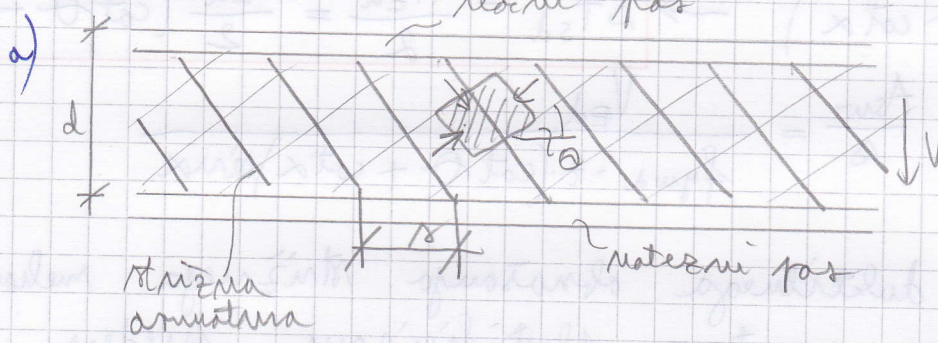
Iz ravnotežja vseh sil v prerezu dobimo še spremembo sile v tlačenem pasu  $\Delta F_c = -\Delta F_s = -\frac{V}{2}(\cot \theta - \cot \alpha)$ . Tlačni pas se zaradi mehanizma paličja razbremeniti.

21. Utegla stična odporost pri dinamiziranju glede prečne sile po St. SISTEN 1992-1-1

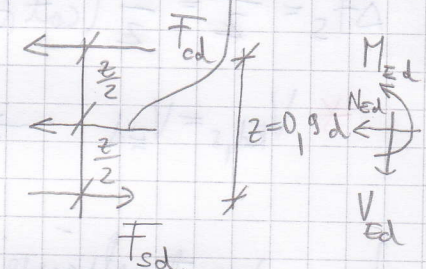
a) predstavite model za locni stične odporosti glede prečne sile po standardu

b) izhodišča za napeljivo rezistor za določanje odporosti glede prečne sile

c) napeljavā rezistor



$$V_{Ed}(\text{cota} \cdot \text{cota})$$



f) \* za noperakt v stični armat. postevano mejo el.  
 $\sigma_{sw} = f_{ywd}$

\* za noperakt betona v glavnih rezisrah, ki so  
 v območju stičnih rezisov postevano mejo

$$\sigma_{cw} = \alpha_{cw} \cdot V_i \cdot f_{cd}$$

$\alpha_{cw}$  ... vpliv armativih redolomih glavnih noperakt  
 zaradi N (armil sil)

$V_i$  ... koef. redukcije glavnih noperakt na locni  
 stični rezpol  $V_i = 0,6 \left(1 - \frac{f_{ck} [\text{MPa}]}{250}\right)$ .

\* ta mejo odporost glede prečne sile ( $V$ ),  
 ki določa nosilnost stične armat. Marolino oznaka  
 $V_{Ed,s}$

\*  $V_{Rd,max}$  ——————  
 nosilnost glavnih rezisov Marolino oznaka

\* v rezoru za določitev dodatne materske  
 armature postevano projektno prečno silo  $V_{Ed}$

\* najpomembnejša odgovorčnost glede na strženje omrežja.

$$V = \frac{A_{sw} \cdot b_{sw} \cdot z \cdot (\cot \delta + \cot \alpha)}{\gamma} \text{ sinx} \rightarrow * V_{Rd,s} = \frac{A_{sw}}{\gamma} f_{ywd} \cdot z \cdot (\cot \delta + \cot \alpha) \text{ sinx}$$

\* najpomembnejša odgovorčnost glede na zruševanje tlčnih nosov

$$V = V_{car} \cdot b_{sw} \cdot z \cdot \frac{(\cot \delta + \cot \alpha)}{1 - \cot^2 \delta} \rightarrow * V_{Rd,max} = x_{car} \cdot b_{sw} \cdot z \cdot V_1 \cdot f_{cd} \frac{(\cot \delta + \cot \alpha)}{1 + \cot^2 \delta}$$

\* dodatna motorna sila N za rez. amortizacijo

$$\Delta F_s = \frac{H}{2} = \frac{V}{z} (\cot \delta - \cot \alpha) \rightarrow * \Delta F_{sd} = \frac{H_{Ed}}{2} = \frac{V_{Ed}}{z} (\cot \delta - \cot \alpha)$$

$$* V_{Rd,s} = V_{Ed} \rightarrow \frac{A_{sw}}{\gamma} = \frac{V_{Ed}}{f_{ywd} \cdot z \cdot (\cot \delta + \cot \alpha) \text{ sinx}}$$

ta zagotavljanje duktilnega obnovevanja stržnega mehanizma  
zobstvene, da je stržna amortizacija plastičiriva preden je  
izčrpana nosilnost tlčnih nosov, kar zapisiemo s  
pogojem:

$$V_{Rd,s} \leq V_{Rd,max} \rightarrow \frac{A_{sw}}{\gamma} f_{ywd} \cdot z \cdot (\cot \delta + \cot \alpha) \text{ sinx} \leq x_{car} \cdot b_{sw} \cdot z \cdot V_1 \cdot f_{cd} \frac{(\cot \delta + \cot \alpha)}{1 + \cot^2 \delta}$$

ki do pogoj za max. stržno amortizmo  $A_{sw,max}$

$$\frac{A_{sw,max} \cdot f_{ywd}}{\gamma \cdot b_{sw}} \leq \frac{x_{car} \cdot V_1 \cdot f_{cd} \cdot \sin^2 \delta}{\text{sinx}}$$

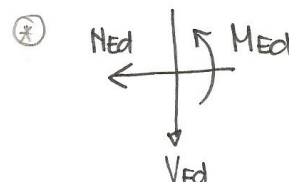
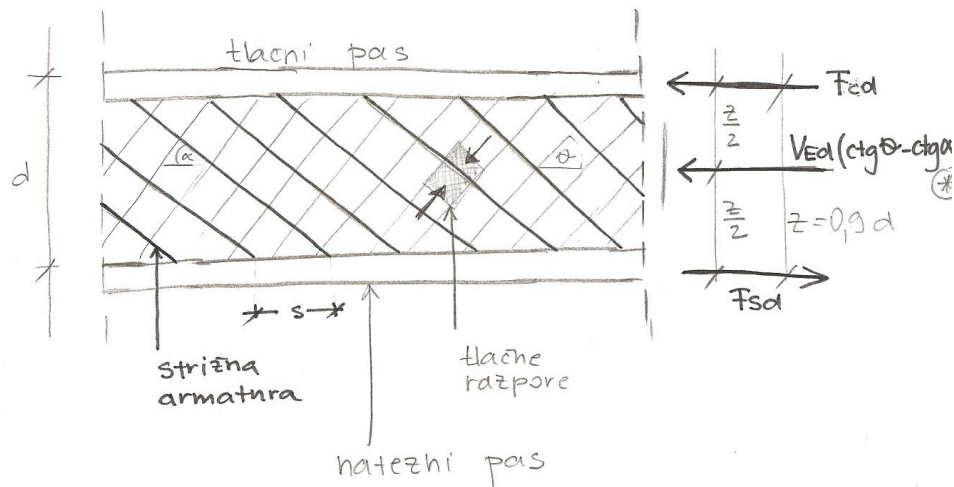
Dodatna motorna amortizacija:

$$\Delta A_s = \frac{\Delta F_{sd}}{f_{yd}} = \frac{V_{Ed}}{2f_{yd}} (\cot \delta - \cot \alpha)$$

(22) Mjerna stručna odgovornost im daje ugovorajuće  
glede precne sile po Standardu SIST EN 1992-1-1

- Predstavite model za račun stručne odgovornosti  
glede precne sile iz standarda.
- Šta je potreben pri betonskih elementih  
tačnije dolociti stručno armaturu.
- Opisite način zatvaranja na odgovornost  
glede precne sile.

a) MEHANIČEM RAVNINSKEGA PALČJA ZA  
PREVZEM PRECNE SILE VEd  $(1 \leq \operatorname{ctg} \alpha \leq 3,5)$

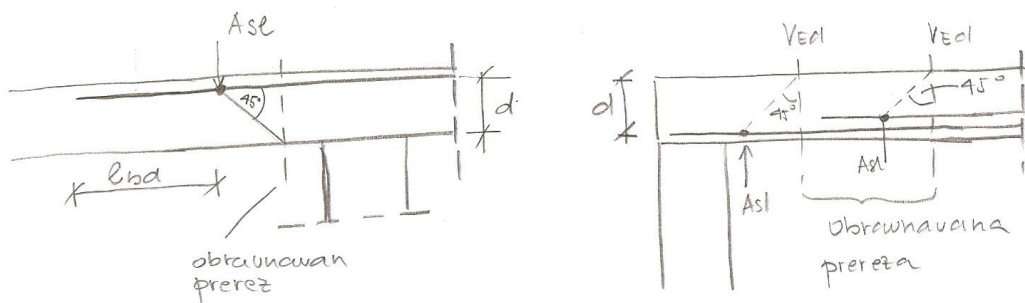


b) Nejma prečna sila  $V_{rd,c}$ , do katero prečne armature elementa ni potrebno računati;

$$V_{rd,c} = \left[ C_{rd,c} \cdot k \left( 100 \beta_1 f_{ct} \right)^{1/3} + k_1 z_{cp} \right] b_{nr} \cdot d \geq (V_{min} + k_1 z_{cp}) b_{nr} \cdot d$$

$$C_{rd,c} = \frac{0.18}{f_c} ; \text{ reducirana uanteva trdnost betona}$$

$$\beta_1 = \frac{A_{se}}{b_{nr} \cdot d} \leq 0.02 ; \text{ delež ustrezno zagidane rezolzne armature}$$



$$z_{cp} = \frac{N_{ed}}{A_c} < 0.2 f_{cd} [\text{MPa}] ; \text{ napetost zaradi tlacne ome sile}$$

$$k = 1 + \sqrt{\frac{200}{d}} \leq 2.0 [\text{d}[\text{mm}]] ; \text{ koeficient višine prerez}$$

$$k_1 = 0.15 ; \text{ koeficient tlacne napetosti}$$

$$V_{min} = 0.035 \cdot z^{3/2} \cdot f_{ct}^{1/2} ; \text{ vplivni koeficient trdnosti betona}$$

$\Rightarrow$  če je projektua prečna sila  $V_{ed} < V_{rd,c} \Rightarrow$

$\Rightarrow$  prečna armatura Asu računsto ni potrebna

$\Rightarrow$  v skladu z SIST EN 1992-1-1 naumentiu le minimalno tričko armaturo

$$f_w, \min = 0,08 \sqrt{\frac{f_{ck}}{f_y}}$$

← minimálne stopy a  
amirany a s striekou  
amaturou

stopujá strieká amiranya (v spôsobe)

$$f_w = \frac{A_w}{s \cdot b_w \cdot \sin \alpha}$$

→ keď je  $V_{rd,c} \leq V_{rd} \leq V_{rd,max}$  ⇒ námet strieku

ustrečená striekou  
amaturou

c) upín súbor v m α na odpovedajúce preche  
file

vertikálna strieká amatura  $\alpha = 90^\circ$

$$V_{Ed} = \frac{V_{ed}}{b_w \cdot z} \approx \frac{V_{ed}}{b_w \cdot 0,9 \cdot d}$$

- keď je  $V_{ed} > V_{rd,max}, \operatorname{ctg} \alpha = 1 \Rightarrow$   
⇒ pretože je potrebné  
povecať

- keď  $V_{Ed} < V_{rd,max}, \operatorname{ctg} \alpha = 2,5 \Rightarrow$   
 $\operatorname{ctg} 2,5 \rightarrow$  izračunáme  
najmäysí  
možený preť strieké  
amature

sicer (če je vrednost  $V_{Ed}$  med obema negativna vrednostima, dolozimo zot  $\theta$ , ki se zadostira glede odpornosti traktu razpor

$$\theta = \frac{1}{2} \arcsin \left( \frac{V_{Ed}}{0,2 f_{c} \varepsilon \left( 1 - \frac{f_{c} \varepsilon}{25} \right)} \right) \text{ [rad/m/cm}^2\text{]}$$

$$\frac{A_{sw}}{s} \geq \frac{V_{Ed}^*}{2 f_{ywd} \operatorname{ctg} \theta}$$

negi zot je  $\theta \rightarrow$  manjši je  $\operatorname{ctg} \theta \rightarrow$  nečič je prevez strizhe amature, ki je potreben za odpornost preveza glede prečne sile

SOL. L:	LETNIK:	IME IN PRIIMEK:	PREDMET:	VAJA ŠT.:	LIST ŠT.:
		MATEJ INDUF	BETONSKÉ K. I		1/3

(23.)

(a) Isto kot 21.a in 22.a.

(b)

$$\alpha = 90^\circ$$

- Predpostavimo, da je  $V_{Ed} > V_{Ed,c}$   $\rightarrow$  potrebna je strinjska armatura.
- Projektivna strinjska napetost je

$$\sigma_{Ed} = \frac{V_{Ed}}{b_w \cdot z},$$

kjer je  $z \approx 0,9d$ ,  $V_{Ed}$  pa polna vrednost brez redukcij ob podporah.

- $\sigma_{Ed}$  primerjamo z vrednostmi  $\sigma_{Rd,max}$  in Pr. 15 (str. 78):
  - $\sigma_{Ed} > \sigma_{Rd,max}, \cot\theta = 1,0 \Rightarrow$  preček moramo povečati;
  - $\sigma_{Ed} < \sigma_{Rd,max}, \cot\theta = 2,5 \Rightarrow$  privzamemo  $\cot\theta = 2,5$  in izračunamo potreben (na sploh najmanjši možen) preček strinjske arm.;
  - $\sigma_{Ed}$  med mejnima vrednostima  $\Rightarrow$  kot  $\theta$  določimo z izrazom

$$\theta = \frac{1}{2} \arcsin \left( \frac{\sigma_{Ed}}{0,2 f_{ck} (1 - f_{ck}/25)} \right)$$

$V_{Ed}$  in  $f_{ck}$  in  $[kN/cm^2]$ , velja pri  $\alpha_{cw} = 1,0$  in  $\mu_c = 1,5$

- Potrebno strinjsko armaturo določimo z reducirano prečno silo:

$$\frac{A_{sw}}{s} \geq \frac{V_{Ed}}{z \cdot f_{ywd} \cdot \cot\theta}$$

(c)

Dodatna vzdoljava (nativa) armatura:  $\Delta A_s = \frac{V_{Ed}}{2 f_{yd}} (\cot\theta - \cot\alpha)$

Pri velikih vrednostih  $\cot\theta$  lahko imamo težave s izdranjem vzdoljne armature - npr. pri izračunanem najmanjšem kotu  $\theta$  po izrazu za potrebno strinjsko armaturo ali ko upoštevamo  $\cot\theta = 2,5$ . Tedaj lahko izberemo manjše vrednosti  $\cot\theta$  ( $\cot\theta \geq 1,0$ !), vendar se nam s tem poveča potreben preček strinjske armature.

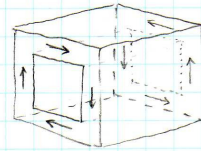
ŠOL. L.:	LETNIK:	IME IN PRIIMEK:	PREDMET:	VAJA ŠT.:	LIST ŠT.:
		MATEJ INDUF	BETONSKIE K. I		2/3

(24.)

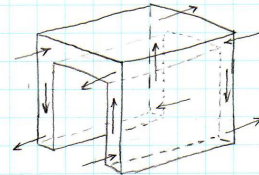
(a)

Enakomerna / Saint Venantova / neovirana torzija

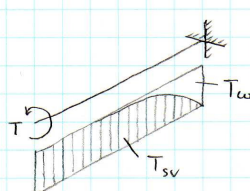
Torzijska odpornost temelji na zadrževanem stičnem toku po obodu elementa, kar velja za polne, zaprte pa tudi odprte tankostenske prerez.

Ovirana torzija

Torzijsko odpornost zagotavljamo preko upogibne odpornosti posameznih sestavnih delov elementa. zaradi preprečene deplanacije prerezov v podporah ali zaradi vedoli osi elementa spreminjajočega torzijskega momenta (zvezna, koncentrirana torz. obtežba) prihaja do motenj napetostnega stanja, ki pripada enakomernej torziji.



V realnih konstrukcijah skupne torzijske odpornosti pogosto ne zagotavljamo izključno z enim od teh dveh mehanizmov, pač pa ju kombiniramo:  $T = T_{sv} + T_w$



ENAKOMERNA T.



OVIRANA T.

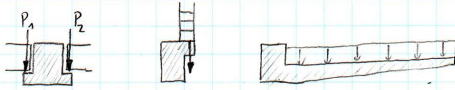


- Pri določilih MSN na primeru polnih in zaprtih (v splošnem tudi odprtih) tankostenskih skladalstih prerezov zamenjamo oviranjo torzije in jo preveramo z mehanizmom enakomerne torzije.
- Mechanizem ovirane torzije je lahko učinkovit pri keratikih merodajnikih razpetinah za prečni upogib posameznih delov.
- Pri zelo nizkih prerezih določimo razdelitev torzijskega momenta na dva mehanizma na podlagi prostorskega modela linijskih nosilcev.

SOL. L.:	LETNIK:	IME IN PRIIMEK:	PREDMET:	VAJA ŠT.:	LIST ŠT.:
		HATEJ INDOF	BETONSKE K. I		3/3

(b)

### Ravnotečna torzija

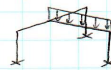


Stično ravnotečne je odvisno od torzijske odpornosti elementov konstrukcije. Potrebno je izvesti celotno torzijsko dimenzioniranje (MSN in MSU).

Primeri: elementi utvrdjeni v florisu, ekscentrično obremenjeni stično določeni elementi, nosilci zavetih stopnic, ...

### Kompatibilnostna torzija

Stabilnost konstrukcije ni odvisna od torzijske odpornosti - npr. v monolitnih, stično nedoločenih konstrukcijah, kjer torzija izvira le iz pogoja za zagotavljanja kompatibilnosti.

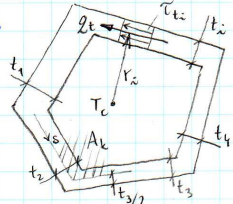


Torzije v splošnem za MSN ni treba posebej preverjati, vendar konstrukciji pa torzijsko togost elementov namenimo.

Plekotne torzijske razpoke preprečimo z minimalno armaturo (zaprta stremena in vzdolne palice), ki zagotavlja duktilno obnašanje. Po pojavu razpol se torzijske obremenitve zmanjšajo.

(c)

Rezultirajoči torzijski moment:  $T = \oint T_{t,i} \cdot t_i \cdot r_i \cdot ds$



Strimi tok (konstanten po obodu):  $g_t = T_{t,i} \cdot t_i$

$$T = g_t \oint r_i \cdot ds = \dots = g_t \cdot 2 \cdot A_k$$

Ak je površina poligona, ki ga omejujejo srednjice posameznih sten.

$$g_t = \frac{T}{2 \cdot A_k}$$

Največje strizine napetosti se pojavijo v najtanji steni:  $\tau_{t,max} = \frac{T}{2 \cdot A_k \cdot t_{min}}$ .

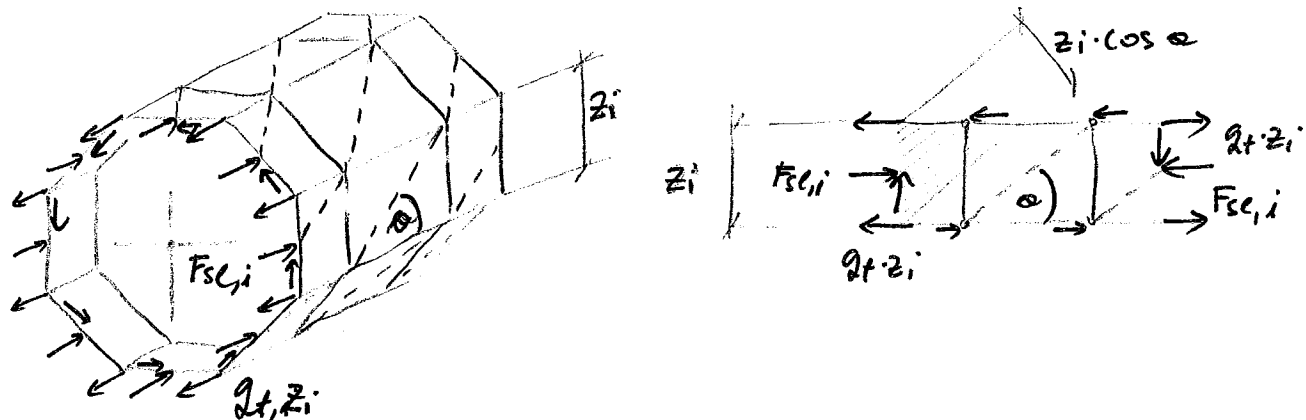
(25) RAČUN MEJNE ODPORNOSTI AB ELEMENTOV GLEDE NA TORZIJO

A) PREDSTAVITE MODEL PROSTORSKEGA PALIČJA ZA RAČUN TORZIJSKE ODPORNOSTI (T.O.) PO POJAVU TORZIJSKIH RAZPOZ

Prostorska palicje sestavljajo:

- flaccne mehanske razpore med razpolomni pod kotom  $\alpha$
- materialna sredina  $Asw$ , ki tvorijo vertikale
- nadolzna armatura  $As_e$ , ki tvori posve palicji

PRIKAZ SIL V I-TI SLOVNI



Torzija povzroča strižno obremenitev posameznih sten  $q_t \cdot z_i$ , manjšo pa jo sile v flaccnih razporah  $F_{cv,i}$

B) IZPELJAVA IZRAZOV, KI DOLGOTOJO TORZIJSKO ODPORNOST  
TEGA MODELA

$$T = \oint T_{t,i} \cdot t_i \cdot r \cdot ds \quad \dots \text{TORZIJSKI MOMENT}$$

$$Q_{t,i} = P_{t,i} \cdot t_i \dots \text{konst.} \quad \dots \text{STRIZNI TOKE}$$

$$T = Q_t \cdot 2 A_k \quad \rightarrow \boxed{Q_t = \frac{T}{2 A_k}}$$

→ Torzija povzroča stržno obremenitev posameznih sten  $q_t \cdot z_i$

→ Upravno težjo jo sile v tlacnih razporah  $F_{cw,i}$

$$F_{cw,i} = \frac{q_t \cdot z_i}{\sin \alpha}$$

$$\boxed{F_{cw,i} = \frac{T \cdot z_i}{2 \cdot A_k \cdot \sin \alpha}}$$

... v odnosnosti  
od torzijalnega  
momenta  $T$

dobimo iz ravnotežja  
„vertikalnih“ sil  
v preseci A-A

→ Upoštevamo  $A_{cw,i} = t_i \cdot z_i \cdot \cos \alpha = \text{PREDENI RAZPORADEK}$

$$F_{cw,i} = \frac{F_{cw,i}}{A_{cw,i}} = \frac{T \cdot z_i}{2 \cdot A_k \cdot \sin \alpha \cdot t_i \cdot z_i \cdot \cos \alpha}$$

$$\boxed{F_{cw,i} = \frac{T}{2 A_k \cdot t_i \cdot \sin \alpha \cos \alpha}} \quad \dots \text{NAPETOST V RAZPORAHTI}$$

$i$ -TE STENE

→ Vrednost  $F_{cw,i}$  se po stenah spremeni po produkt  $F_{cw,i} \cdot t_i = \text{konst.}$  po obodu

→ Iz ravnotežja „vertikalnih“ sil v vrhovih 1  
dobimo  $F_{sw,i}$  v precni stremenični animaciji  
i-te stene

$$F_{sw,i} = F_{cw,i} \cdot \sin \alpha = q_t \cdot z_i$$

→  $F_{sw,i}$  je ovisnosti od horizontaleta momenta

$$F_{sw,i} = \frac{T \cdot z_i}{2 \cdot A_e}$$

→  $F_{sl,i}$  = HORIZONTALNA KOMPONENTA SILE V PRAČNI RAZPORI ( $F_{sw,i}$ )  
i-TE SPENE

$$F_{sl,i} = F_{sw,i} \cdot \cos \alpha = \frac{g_f \cdot z_i \cdot \cos \alpha}{\sin \alpha} = g_f \cdot z_i \cdot \cot \alpha$$

$$F_{sl,i} = \frac{T \cdot z_i}{2 \cdot A_e} \cdot \cot \alpha \quad \dots \text{v ovisnosti od hor. mom.}$$

→ Celotna sila v nadolžni matematični arhitekturi po  
vseni obdelu.

$$F_{sl} = \sum F_{sl,i} = \sum \frac{T \cdot z_i}{2 \cdot A_e} \cdot \cot \alpha = \frac{T \cdot \cot \alpha}{2 \cdot A_e} \cdot \sum z_i$$

→ Obseg ploskve  $A_e$  označimo z  $M_e$

( $A_e$  je obseg srednjicami sken = vsota dolžin stranic  
( $\sum z_i$ ))

$$F_{sl} = \frac{T \cdot \cot \alpha}{2 \cdot A_e} \cdot M_e$$

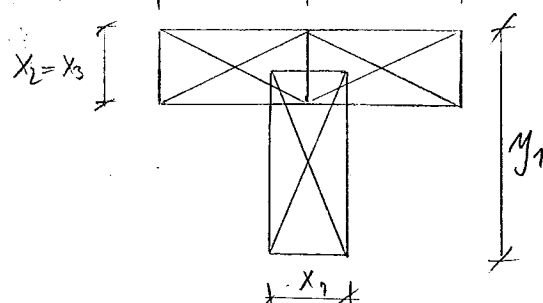
(26) RAČUN MEJNE ODPORNOSTI IN DIMENZIONIRANJE AB ELEMENTOV GLEDE NA TORZIJO PO STANDARDU SIST EN 19 2-1-1

A) PREDPOSTAVKE IN POENOSTAVITVE

- 1.) Torzjska odpornost elementa se izračuna na podlagi ODPORNOSTI ZAPRTEGA TENKOSTENSKEGA ŠČAKLASTEGLA PREREZA, pri katerem ravno težje zagotavljammo z zaprtim skrižnim tokom (naloženim torzij)
- 2.) VOTVI PREREZI  $\Rightarrow$  upoštevamo debeline  $\leq$  dejanske stene debeline stene
- 3.) POLNI PREREZI  $\Rightarrow$  se modelirajo z nadomeščnimi tankostenskimi flatashnimi prerezami
- 4.) PREREZI RAZPREMENJENIH OBLIK (T-prerez)  $\Rightarrow$  razdelimo na pravokotne podprerezze, ki se modelirajo z ustreznimi tankostenskimi prerezami.  
(Podpare se formira tako, da je dosegna največja merna vsota torzijalnih topstti podprerezov)

$\rightarrow$  Razdelitev delujocihga torzjskega momenta  $T_{ed}$  na podprerezze  $T_{edi}$ , i mora biti sorazmerna torzjskim topstnim posameznih podprerezov v naročkujučem stanju

$\rightarrow$  Parameter  $k_i = \frac{x_i}{y_i}$  (odvisen od tega razmerja)



$$T_{edi} = T_{ed} \frac{k_i \cdot x_i^3 \cdot y_i}{\sum k_j x_j^3 \cdot y_j}$$

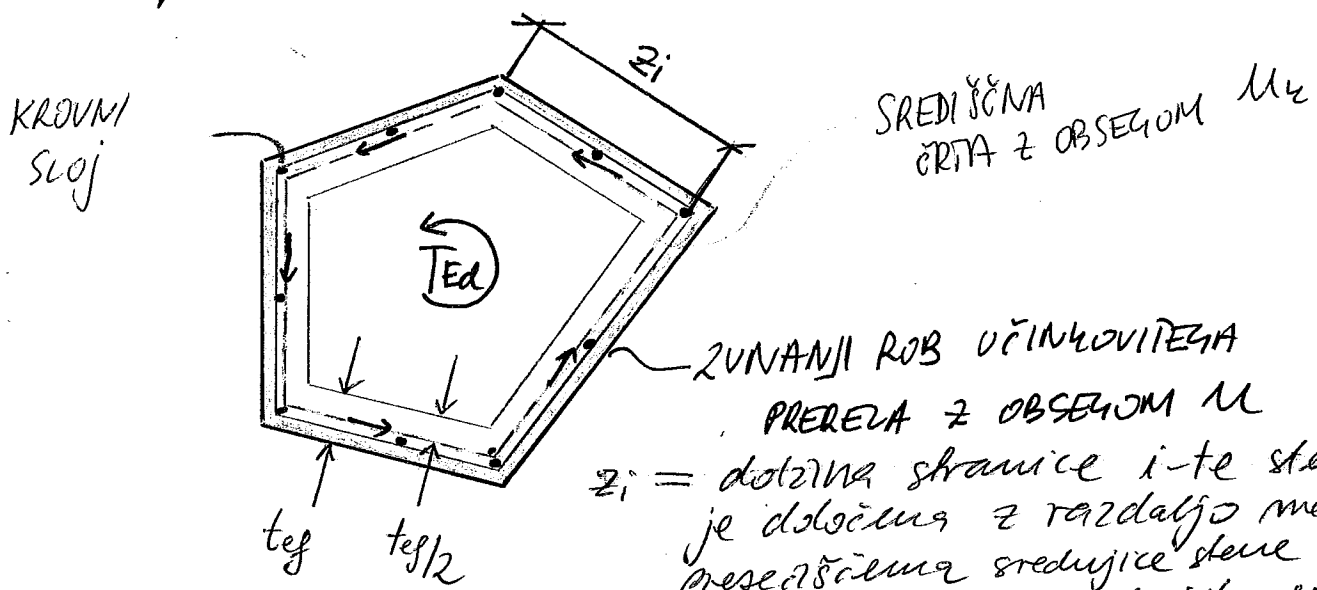
$$x_i \leq y_i, i = 1, 2, 3, \dots, n$$

$$k_i = \frac{1}{3} \left[ 1 - 0,63 \frac{x_i}{y_i} \left( 1 - \frac{x_i^4}{12 \cdot y_i^4} \right) \right]$$

→ celotno torzijoško odpornost prenera  $T_{rd}$  je določena z vsoto torzijih odpornosti  $T_{rdi}$  posameznih podprenerov ( $i = 1, 2, 3, \dots, n$ )

$$T_{rd} = \sum T_{rdi}$$

5) RACUN TORZIJISKE ODPORNOSTI IN DIMENZIONIRANJE PLENIT IN VTRIH PREREZOV  $\Rightarrow$  uporabi se nadomestni zapisi: tenkostenski pres.



ZUNANJI ROB VČINKOVITEGA  
PRESEKA Z OBSEGOM M

$z_i$  = dolžina stranice i-te stene, ki je oddaljena z razdaljo med preseščima srednjice stene in srednjicama srednjih sten

$A_t$  = plošča, ki jo oddajajo srednjice srednjih sten, vključno z notranjimi notlimi območji

$T_{t,i}$  = torzijalna strižna napetost v i-te steni

$t_{ef,i}$  = notranja debelina stene (i-te) za kateno  $\times$  latko vrame:  $t_{ef} = A/m$  (vendar ne manj kot  $2 \times$  oddaljenost torzija notljive amplitudne od robca prenera,

Pri notlih prenerih pa je zgornja meja notranje debeline dejanska debelina stene

$t$  = celotna plosčna premera prenera notraj zunajnjega oboka, vključno z notranjimi notlimi območji

$m$  = zunajji obseg premera prenera.

## B) POSTOPEK DIMENZIONIRANJA V PRIMERU KOMBINACIJE TORZIJE IN PREČNE SILE

- Mogoči torzije in prečne sile pri notrilih in polnih elementih lahko superposej
- Pri dim. se v obliki primerih priporoča enak maksimalni faktor razpol.
- Omejitve kotov so podane v STAND. SISTEN 1992-1-1  
 $1 \leq \cot \alpha \leq 2,5$
- Max odpornost elementa, ki je napolnjen torziji in kombinaciji s prečno silo, je omejena z odpornostjo nekotnih razpol. Izpolnjen mora biti pogoj:

$$\frac{T_{ed}}{T_{ed,max}} + \frac{V_{ed}}{V_{rd,max}} \leq 1,0$$

$T_{ed}$  = projekcijski torzijasti moment

[npr. 206]

$$T_{ed,max} = \text{projekcijska odpornost } T_{ed,max} = \frac{2 \cdot A_w \cdot f_{cd} \cdot A_s \cdot t_{sf,min} \cdot \cot \alpha}{1 + \cot^2 \alpha}$$

$V_{ed}$  = projekcijska prečna sila

$V_{rd,max}$  = projekcijska odpornost glede prečne sile [npr. 179]

$$V_{rd,max} = d_w \cdot A_w \cdot 2 \cdot f_{cd} \cdot \frac{\cot \alpha + \cot \alpha}{1 + \cot^2 \alpha}$$

- Potrebno izračunati in izdolžiti armaturno dodomo ločeno za prečno silo  $A_w(V_{ed})$  in ločeno za torzijo  $A_s(T_{ed})$  ter oba skupaj namenjeno v element

Pri približni pravilnosti prenerih se razstava le visok armatura pod pogojem, da je izpolnjen pogoj:

$$\frac{T_{ed}}{T_{ed,c}} + \frac{V_{ed}}{V_{rd,c}} \leq 1,0$$

$$T_{ed,c} = 2 \cdot A_s \cdot f_{ctd} \cdot t_{sf,min}$$

$T_{ed,c}$  = ..... moment, pri katerega se pojavijo prve napake

$V_{rd,c}$  = odpornost glede stružnih razpol. glede prečne napake sile.

- V dolžine konjščke armature mora biti na splošno ENAKOMERNO razporejenih medaličnih dolžin števnic z i, pri majhnih presekih pa se lahko koncentriira na končnih teh dolžin
- V flakovičnih pasovih se lahko prevez medalične armature raznajta v sorazmerjih z razpoložljivo flakovo silo (pričevanje pri različnih kombinacijah občutnih primerov)
- V materinskih pasovih je treba konjščko medalično armaturo dodati k ostalim medaličnim armaturam.

(BK - 10 del / str. 11, 12(13))

28 a) IZDRAŠA ZA IZPELJAVO IZRAZOV ZA DOLOČANJE ODPORNOSTI GLEDE TORZNE NA PODLAGI NADOMESTNEGA POLICAJA

Pri računu mejne torzne nosilnosti AB elementov izračujemo iz mejne nosilnosti nadomestnega prostornega policaja, ki ga restarijojo razvinti policija v strednjih razinah men izklastastega oziroma nadomestnega izklastastega premera v primeru polnih premer.

Prostorni policije restarijojo:

- tlacine letenke nosilnosti pod satom  $\vartheta$
- Materna strema  $A_{sw}$
- Nadoljina armatura  $A_s$

b) IZRAZI ZA DIMENSIOMIRANIE IN STANDARDE

5 tega medijo 3 omrežne glede nosilnosti elementa:

• Mejna torzjska odpornost, ki jo določa nosilnost tlacnih nosilnosti

$$T_{RD,mar} = \frac{2 \cdot \alpha_{sw} \cdot V \cdot F_{ed} \cdot A_s \cdot t_{eff,min} \cdot C_0 + C_1}{1 + \cot^2 \vartheta}$$

• Mejna torzjska odporost, - -, - precne šrine armature

3 Potreben premer stremki armature na enoto dolilne ( $A_{sw}/s$ )

z  $A_{sw}$  smo izracili premer enega stremena

$$\frac{A_{sw}}{\vartheta} = \frac{T_{ed}}{2 \cdot A_k \cdot \cot \vartheta \cdot f_{ywd}}$$

Ta izraz dolimo z mejne sile polje če upoštevamo

pogoj plastifikacij:

$$T_{RD,sw} = \frac{A_{sw}}{\vartheta} \cdot 2 \cdot A_k \cdot \cot \vartheta \cdot f_{ywd}$$

- Mejna torzijšča odpornost, ki jo določa nosilnost vzdoljne torz. arm.

Vzdoljna torzijšča armatura mora biti na splošno enakovremeno razpostrejena po vzdolji dolžini objekta.

- Celotno silo v vzdoljni armaturi zapisemo:

$$F_{\text{dolj}} = \frac{\sum A_s \cdot f_y d \cdot 2 \cdot A_h}{M_k \cdot c \cdot a}$$

g je enačbe dolžimo preko pretvrtke vzdoljne armature

$$\frac{\sum A_s}{M_k} = \frac{T_e \cdot c \cdot \cot \alpha}{2 \cdot A_h \cdot f_y d}$$

NADALJEVANJE a)

Pri določanju torzje v mejnih stanjih upoštevamo:

- 1.) Streina armatura - projektna meja elastičnosti:  $\delta_{sw} = f_{ywd}$
- 2.) Vzdoljna armatura - projektna meja el.:  $\delta_{sl} = f_{ydl}$
- 3.) Nosilnost betona v tlacnih naporah upoštevamo:

$$\delta_{cw} = d_{cw} \cdot V \cdot F_{cd}$$

$$V = 0.6 \left( 1 - \frac{f_{ck} [\text{MPa}]}{250} \right)$$

$$d_{cw} = 1 \quad \leftarrow \text{BETON NI PREDNAPET}$$

- 4.) Torzijšča odpornost tlacnih napor - oznaka  $T_{rd,mat}$
- 5.) Torzijšča odpornost precine strem. arm. - oznaka  $T_{rd,sw}$
- 6.) Torzijšča odpornost vzdoljne stre. ar. - oznaka  $T_{rd,sl}$
- 7.) Debeline stene pri tlacnih naporah - za debelino  $t$ ; nezamemo  $t_{eff,min}$

BK (Model, str 1)

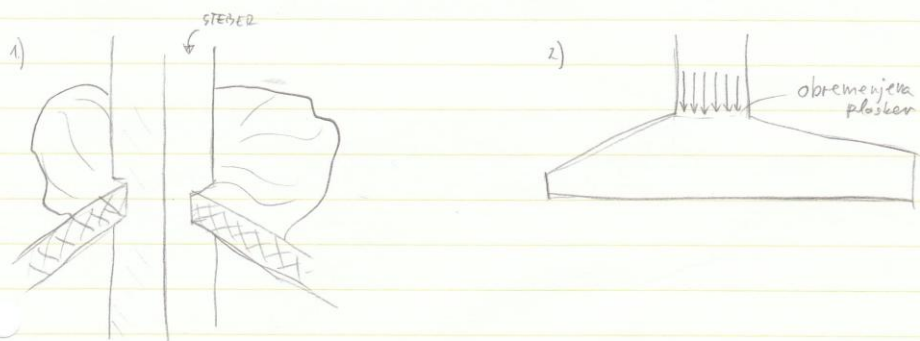
## (29) a) SPLOŠNA PREDSTAVITEV

Pod prebojem razumemo takšen primer načine obremenitve, ki bi povzročil iztrganje prisekanega stožca iz ploščatega betonskega elementa.

Strig pri preboju ploščatih elementov se lahko pojavi zaradi koncentrirane obtežbe ali realnejški rebra, ki deluje na majhni plosčni izmenjivosti Alard.

## b) PRIMERI NEVARNOSTI PREBOJA

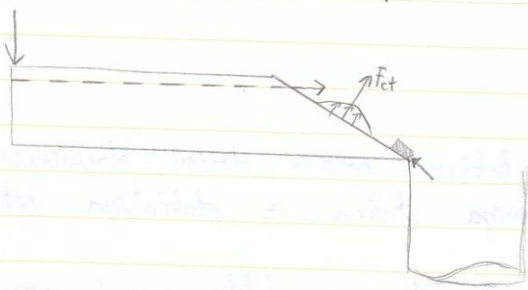
Značilna primerja sovražja nevarnosti preboja so polne gladke plosče podprtne direčno s rebri in temelji rebrov.



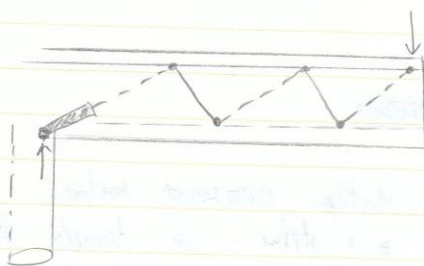
## c) MEHANSKI MODELI

Mehanski modeli za določanje odpornosti ploščatih elementov glede preboja so bili razviti na podlagi eksperimentalnih rezulatov. V novejšem času se te modeli dopolnjujejo z modeli zvezni in rezponsimi.

29 c) ① model z wiatrem trudnościo



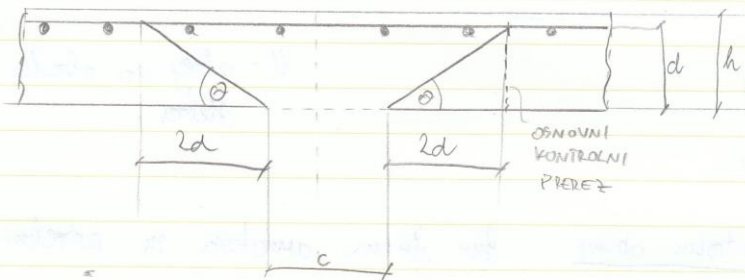
② model Kinnunen/Nylander dopolnjen z modelem z verim in razpravljanjem



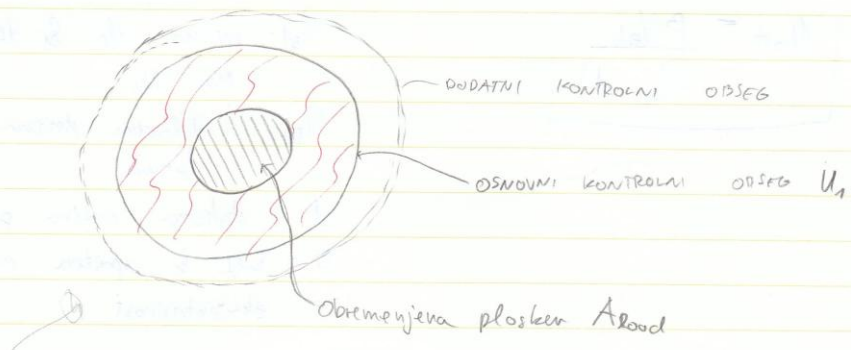
BK (11. del; str. 2, 3, 4, 5)

(30) a) PRESTAVITEV USTREZNEGA MODELA

Pravila navedena v SIST EN 1992-1-1 so nacelno primenjena za primet zvezno razporejenje obtežbe na globih plosčah na stebrih.



Stricno odprtost je treba preveriti ob robu stebra in v osnovnem kontrolnem obsegu  $U_1$ . Če je potrebna dodatna skupina moramo posibati dodatni obseg  $U_{out}$  oz.  $U_{out,f}$  v katerem arm. ni potrebna.



(TA SKICA SE LAHKO DODA K TOČKI b))

### b) kontrolni obseg

① Osnovni (Vgotavljanje potrebe po stični armaturi)

Za osnovni kontrolni obseg se prizame, da je na oddaljenost  $2d$  od obremenjeni plosčev, oblikovati pa ga je treba tako, da je njegova dolžina najmanjša.

$$U_1 = U_0 + 2\pi d = \boxed{U_1 = 2 \cdot (l_{s1} + l_{s2}) + 2\pi \cdot 2d}$$

$$d_{eff} = \frac{d_s + d_e}{2}$$



$U_0$  - obseg po obodu  
stebra

② Dodatni kontrolni obseg, če je stična armatura mi potrebna

-  $M_{aut}$  (ali  $M_{aut,eff}$ ).

Najbolj zunanjo mesto stične armature je treba nameniti znotraj obsega  $M_{aut}$  tako, da njen oddaljenost ne presegne 1,5d.

$$\boxed{M_{aut} = \frac{\beta \cdot V_{ed}}{(V_{pd,c} \cdot d)}}$$

•  $V_{ed}$  - prečna sila, ki deluje na  $M_{aut}$

•  $V_{pd,c}$  - določena stična podmočina betuma

•  $d$  - statična največja plosča

•  $\beta$  - koef., ki upošteva manjo ekscentričnost

(30) c) Kriteriji za določanje odpornosti:

① Odpornost glede tlachnih razpor:

Ob obodu steba največja strima napetost  $V_{Ed}$  ne sme biti večja od projektične strime odpornosti  $V_{Rd,max}$ :

$$\cdot V_{Ed} \leq V_{Rd,max}$$

$$\cdot V_{Ed} = \beta \cdot M_i \cdot d$$

$$\cdot V_{Rd,max} = 0,5 \cdot V \cdot f_{cd}$$

- $V_{Ed}$  - precna sila, ki deluje na  $M_i$
- $\beta$  - redulčiški faktor tlachne nosilnosti razpolovanega letava

$$\boxed{\beta = 0,60 \cdot \left(1 - \frac{f_{ck}}{250}\right)}$$

② Prebojna strima odpornost brez strime armature

Kadar  $V_{Ed}$  v kontaktnem obrogu stropnih plošč ne presegne  $V_{Rd,c}$  strima armatura proti preboju ni potreben

$$\cdot V_{Ed} = \beta \cdot M_i \cdot d$$

$$\cdot V_{Rd,c} = C_{Rd,c} \cdot k \cdot \left(100 \cdot g_e f_{ck}\right)^{\frac{1}{3}} + g_e \cdot l_{cp}$$

$\alpha_{18}$  - boljšenje

$$\cdot C_{Rd,c} = \frac{f_c}{200}$$

$$\cdot k = 1 + \sqrt{\frac{200}{d}}$$

$$\cdot g_e = \sqrt{g_{e,y} + g_{e,z}} \leq 0,02$$

$$\cdot l_{cp} = \frac{l_{c1} + l_{c2}}{2}$$

③ Prebojna strima odpornost s strimo armaturom

Kadar  $V_{Ed}$  presegne  $V_{Rd,c}$  je potrebna strima armatura:

ki jo izračunamo z enačbo:

$$\boxed{A_{sw} = \frac{(V_{Ed} - 0,75 V_{Rd,c}) \cdot M_i \cdot d}{1,15 \left(\frac{d}{s_r}\right) \cdot f_{ywd} \cdot f_{mk}}}$$

•  $d$  - širina strime arm. in plošč

$$\cdot f_{ywd} = 250 + 2,5 \cdot d$$

•  $s_r$  - radialna medsebojna oddaljenost strime arm.